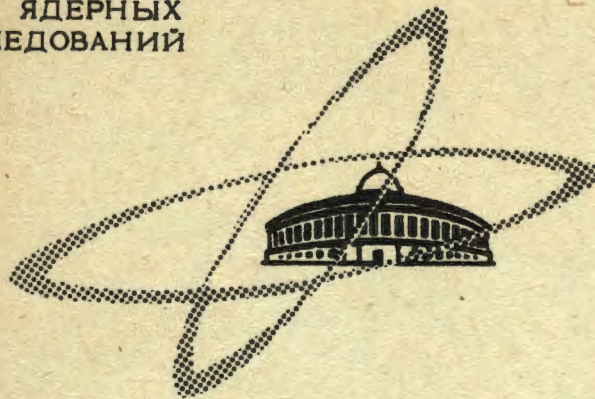


12/XII-68

T-463

ОБЪЕДИНЕННЫЙ
ИНСТИТУТ
ЯДЕРНЫХ
ИССЛЕДОВАНИЙ

Дубна



P2 - 4120

Ф.Ф. Тихонин

К ЭФФЕКТАМ
НА ВСТРЕЧНЫХ μ -МЕЗОННЫХ ПУЧКАХ

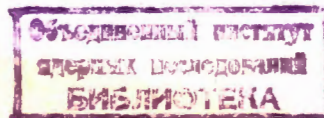
ЛБОРАТОРИЯ ТЕОРЕТИЧЕСКОЙ ФИЗИКИ

1968

P2 - 4120

Ф.Ф.Тихонин

К ЭФФЕКТАМ
НА ВСТРЕЧНЫХ μ -МЕЗОННЫХ ПУЧКАХ



1. В настоящее время в физике элементарных частиц исследуются закономерности в области длин (параметров удара) 10^{-15} см.

На пути к еще меньшим длинам, которые несомненно станут объектом экспериментальных исследований, имеется длина так называемых слабых взаимодействий

$$l_w = \sqrt{\frac{F_w}{hc}} \approx 0,61 \cdot 10^{-16} \text{ см.}$$

Физические эффекты в области этих длин представляют по ряду причин значительный интерес. Встречные пучки проектируемых ускорителей не очень отдаленного будущего дают возможность значительно приблизиться к длине слабых взаимодействий.

Ниже рассмотрены некоторые эффекты μ -мезонной физики для встречных μ -мезонных пучков высоких энергий. Эксперименты на встречных пучках мюонов дадут возможность выяснить реальность нейтральных токов в слабых взаимодействиях вида $(\bar{\mu}\mu)$ и $(\bar{e}e)$.

В этой связи представляет интерес оценка роли высших приближений по слабой константе. Возможность экспериментального подхода к выяснению роли вкладов высших приближений представляет значительный принципиальный интерес для теории поля вообще, т.к. слабые взаимодействия неренормируемые. Присутствие нейтральных токов (не обязательно с универсальной константой) дало бы возможность, в принципе, объяснять разницу масс электрона и мюона в духе работы^{1/}, так как именно такого типа взаимодействия дают вклады разного знака в массы электро-

на и мюона, если относящиеся к ним поля удовлетворяют уравнениям $(\hat{i} p + m) \phi_I = 0$ и $(\hat{i} p - m) \phi_{II} = 0$, соответственно.

2. Вычислим сечение рассеяния, соответствующее диаграммам рис.1, т.е. учтем как слабое, так и электромагнитное взаимодействия мюонов. Обозначив импульсы начальных μ^- и μ^+ -частиц через s_1 и t_1 , а конечных - через s_2 и t_2 , соответственно, запишем необходимый матричный элемент

$$\begin{aligned} \mathcal{M} = & -\frac{e^2}{q^2} [\bar{u}(s_2) \gamma_\mu u(s_1)] [v(t_1) \gamma_\mu v(t_2)] + \\ & + \frac{e^2}{k^2} [\bar{u}(s_2) \gamma_\mu v(t_2)] [\bar{v}(t_1) \gamma_\mu u(s_1)] + \\ & + \frac{G}{\sqrt{2}} [\bar{u}(s_2) \gamma_\mu (1 + \gamma_5) v(t_2)] [\bar{v}(t_1) \gamma_\mu (1 + \gamma_5) u(s_1)]; \end{aligned} \quad (1)$$

в с.п.м. имеем в релятивистском пределе $q^2 = -4E^2 \sin^2 \theta/2$, $k^2 = 4E^2$, где θ - угол рассеяния и E - начальная энергия сталкивающихся пучков. Эффективное сечение рассчитываем по формуле

$$d\sigma = \frac{(2\pi)^4 |\mathcal{M}|^2}{4[(s_1 t_1)^2 - \mu^4]^{\frac{1}{2}}} \cdot \frac{ds_2}{(2\pi)^8 2s_2^0} \cdot \frac{dt_2}{(2\pi)^8 2t_2^0} \delta^4(s_2 + t_2 - s_1 - t_1) \quad (2)$$

и в с.п.м. получаем при больших энергиях [$r_0 = \frac{a}{\mu} = 1.36 \cdot 10^{-15}$ см]

$$\begin{aligned} \frac{d\sigma}{d(\cos\theta)} = & \frac{\pi r_0^2}{8} \left(\frac{\mu}{E}\right)^2 \left\{ 2 \frac{1 + \cos^4 \theta/2}{\sin^4 \theta/2} + (1 + \cos^2 \theta) - 4 \frac{\cos^2 \theta/2}{\sin^2 \theta/2} + \right. \\ & \left. + \xi^{(n)} \left(1 - \frac{1}{\sin^2 \theta/2}\right) + \xi^{(n)} (1 + \cos \theta)^2 \right\}. \end{aligned}$$

Здесь введен параметр $\xi^{(n)}$, характеризующий степень воздействия слабых взаимодействий на $\mu^- \mu^+$ -рассеяние,

$$\xi^{(n)} = \frac{8GE^6}{e^2 \sqrt{2}} = 6.2 \cdot 10^{-4} \frac{E''}{m_N^2}, \quad (3)$$

где m_N - масса нуклона.

Угловое распределение чисто электромагнитного рассеяния (рассеяния Баба) и распределение с учетом растущих с энергией "слабых" поправок показано на рис.3; соответствующие численные значения приведены в таблице 1 для энергий мюонов в с.п.м. 25, 30 и 50 Гэв. Наиболее сильное отклонение от электромагнитного распределения наблюдается в области углов $70 - 100^\circ$, так что с достаточной точностью проведенные измерения смогли бы выявить ожидаемое различие. Следует обратить внимание на то, что в расчетах использовалась обычная константа слабых взаимодействий. Возможно, так и есть на самом деле (в чисто лептонных процессах), хотя поиски, например, распадов $K^0 \rightarrow \mu^+ \mu^-$ устанавливают соотношение /2/:

$$\frac{\Gamma(K^0 \rightarrow \mu^+ \mu^-)}{\Gamma(K \rightarrow \mu \nu)} \leq 1,5 \cdot 10^{-6} .$$

3. Эффект несохранения четности в исследуемом процессе наиболее отчетливо проявится в возникновении продольной поляризации рассеяния мюонов при неполяризованных начальных пучках. Для вычисления степени поляризации не будем суммировать по направлениям спина рассеянного мюона. 4-вектор поляризации мюона при рассматриваемых энергиях можно записать в виде

$$s \equiv \frac{E}{\mu} (\vec{n} \cdot \vec{\xi}) (1, \vec{n}),$$

где $\vec{n} = \frac{\vec{s}_2}{|\vec{s}_2|}$ и $\vec{\xi}$ – единичный вектор в направлении поляризации мюона в его системе покоя. Снова производя вычисления, находим, что чисто электромагнитная часть сечения не меняется, а остальные члены приобретают общий множитель $(1 - \cos \Theta)$, где Θ – угол между \vec{n} и $\vec{\xi}$. Теперь для продольной поляризации получаем выражение

$$P_\ell = \frac{-\xi^{(n)} \left(1 - \frac{1}{\sin^2 \theta/2} + \xi^{(n)} (1 + \cos \theta)^2 \right)}{2 \frac{1 + \cos^4 \theta/2}{\sin^4 \theta/2} + (1 + \cos^2 \theta) - 4 \frac{\cos^4 \theta/2}{\sin^2 \theta/2} + \xi^{(n)} \left(1 - \frac{1}{\sin^2 \theta/2} + \xi^{(n)} (1 + \cos \theta)^2 \right)} \quad (4)$$

Для различных значений углов значения P_ℓ приведены в табл. I. Малость величины P_ℓ затрудняет ее измерение, но нестабильность мюонов упрощает положение, поскольку поляризуемость мюонов можно обнаружить, рассматривая угловое распределение продуктов их распада. Отметим, что в процессе $\mu^+ + \mu^- \rightarrow e^+ + e^-$ поляризация достигает значительной величины, однако, ее измерение представляет большие трудности. К этому процессу мы вернемся позже.

4. Чтобы быть уверенным, что в случае обнаружения Р-нечетных эффектов на $\mu^+ \mu^-$ -рассеяние оказывают воздействие именно нейтральные токи, оценим теперь вклад слабых взаимодействий во втором порядке через заряженные токи. Выпишем соответствующий диаграммам рис.2 матричный элемент с регуляризованными нейтриинными функциями распространения, проинтегрировав по импульсу одного из нейтрино

$$M^{(2)} = \frac{G^2}{4} \frac{i}{(2\pi)^6} \delta^{(4)}(s_1 + t_1 - s_2 - t_2) \frac{\mu^2}{E^2} \left\{ \int_0^\Lambda d\lambda_1 \int_0^\Lambda d\lambda_2 \int d^4 k [\bar{u}(s_2) \Gamma_\nu(u(s_1) \bar{v}(t_1)) \Gamma_\mu v(t_2)] \times \right. \\ \times \text{Tr} \left(\frac{\hat{k}}{(k^2 - \lambda_1)^2} \Gamma_\nu \frac{\hat{k} + \hat{s}_1 - \hat{s}_2}{[k^2 + 2k(s_1 - s_2) + (s_1 - s_2)^2 - \lambda_2]^2} \Gamma_\mu \right) - \\ - \bar{u}(s_2) \Gamma_\mu v(t_2) \bar{v}(t_1) \Gamma_\mu u(s_1) \times \\ \times \text{Tr} \left(\frac{\hat{k}}{(k^2 - \lambda_1)^2} \Gamma_\mu \frac{\hat{k} - \hat{s}_1 - \hat{t}_1}{[k^2 - 2k(s_1 + t_1) + (s_1 + t_1)^2 - \lambda_2]^2} \Gamma_\nu \right) \}. \quad (5)$$

Входящие сюда интегралы имеют вид

$$T_1^{\alpha\beta} (s_1 - s_2) = \int_0^\Lambda d\lambda_1 \int_0^\Lambda d\lambda_2 \int d^4 k \frac{k^\alpha}{(k^2 - \lambda_1)^2} \cdot \frac{k^\beta - (s_2^\beta - s_1^\beta)}{[k^2 - 2k(s_2 - s_1) + (s_1 - s_2)^2 - \lambda_2]^2}.$$

Оставив лишь главную степень расходимости по Λ , этот интеграл можно вычислить, при этом получаем

$$I_2^{\alpha\beta} = I_1^{\alpha\beta} = -\frac{i\pi^2}{4} \Lambda^2 g^{\alpha\beta}.$$

Сечение рассеяния, представленное диаграммами рис.2, имеет вид

$$\frac{d\sigma}{d(\cos\theta)} = \frac{3(G\Lambda)^4 E^2}{2^8 \pi^5} (1 + \cos\theta)^2. \quad (6)$$

Определяя отсюда параметр $\xi^{(ch)}$, соответствующий ранее введенному $\xi^{(n)}$, мы можем охарактеризовать относительную степень воздействия заряженных и нейтральных слабых токов на рассеяние мюонов величиной

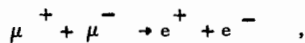
$$\xi_{w(\Lambda)} = \frac{\xi^{(ch)}}{\xi^{(n)}} = 12.4 \cdot 10^{-7} \left(\frac{\Lambda}{m_N} \right)^2. \quad (7)$$

Для трех значений Λ в единицах нуклонной массы получаем значения

$$\xi_w(50) \approx 3.2 \cdot 10^{-8}, \quad \xi_w(100) \approx 12.4 \cdot 10^{-8}, \quad \xi_w(300) \approx 10^{-1}. \quad (8)$$

Есть некоторые основания полагать, что наиболее вероятное значение $\Lambda \approx 100$. В этом случае значения ξ_w указывали бы на предпочтительность нейтральных токов в рассеянии $\mu^+ \mu^- \rightarrow \mu^+ \mu^-$ при достаточно большой величине нейтральной фермиевской константы. Следует обратить внимание на то, что эти заключения получены в предположении, что при вычислении второго порядка теории возмущений по G главная расходимость (Λ^2) была учтена, хотя не исключено, что в последовательной теории этот член и не дает вклада^{/3/}. В последнем случае еще больше усиливаются аргументы в пользу нейтральных токов. Таким образом, важнейший в неперенормируемых теориях вопрос о расходимости ждет своего прямого экспериментального решения в опытах может быть и не так уж беспредельно отдаленного будущего, если учесть успехи в развитии техники ускорителей на встречных пучках.

5. Нужно отметить сильное влияние присутствия обменной диаграммы (рис.1) на процесс рассеяния, что дает сингулярную зависимость от угла рассеяния. С другой стороны, такая диаграмма отсутствует в реакции



и поэтому ожидается более четкая картина углового распределения электронов при всех значениях θ . Сечение с учетом слабой диаграммы имеет вид

$$\frac{d\sigma}{d(\cos\theta)} = \frac{\pi}{8} \frac{a}{E^2} [(1 + \cos^2\theta) + \xi_1^{(n)} (1 + \xi_1^{(n)}) (1 + \cos\theta)^2].$$

Таблица 2 содержит численные характеристики этого процесса, а на рис.4 приведено угловое распределение электронов. Видно значительное влияние слабой добавки на этот процесс.

Оценим теперь второй порядок по C в реакции $\mu^+ \mu^- \rightarrow e^+ e^-$; здесь

$$\frac{d\sigma}{d\Omega} = \frac{4C^2 E^2}{(2\pi)^5} (CA^2)^2 (1 + \cos\theta)^2.$$

Относительная степень участия слабых нейтральных и заряженных токов характеризуется теми же значениями ξ_w , что и в случае процесса



6. На основании проведенных расчетов приходим к заключению, что эксперименты на встречных μ^+ -и μ^- -пучках позволяют обнаружить влияние слабого взаимодействия в этом опыте. При равных константах нейтральных и заряженных токов появление несохраняющих четность эффектов можно рассматривать как обнаружение нейтральных токов типа $(\bar{\mu}\mu)$ и $(\bar{e}e)$. И даже при $C^{\text{neutral}} = (10^{-2} - 10^{-8}) C^{\text{charge}}$ заключение останется верным.

Следует подчеркнуть, что предыдущее рассмотрение основано на применении теории возмущений, которая в области критической энергии слабого взаимодействия, возможно, не применима.

При приближении к этой критической области необходимо учитывать в какой-то форме изменения начального состояния (его затухание).

Автор искренне благодарен академику М.А. Маркову за предложение теоретического исследования эффектов на встречных пучках и постоянное обсуждение всех затрагиваемых вопросов работы.

Литература

1. M.A. Markov. *Nucl. Phys.*, 55, 130 (1964).
2. A. Rosenfeld et al., *Preprint UCRL - 8030* (aug. 1968).
3. Б.Л.Иоффе. ЖЭТФ, 38, 1608 (1960), М.А. Марков. Препринт ОИЯИ Д-677, Дубна 1960. ; Р.А.Асанов, Б.Н.Валуев, там же.

Рукопись поступила в издательский отдел
16 октября 1968 года.

Матрица 1

θ°	$\frac{1}{2} \frac{dG}{d\alpha} \times (10^{36} \text{ cm}^2)$			$P_e(25 \text{ fb})$
	$E = 25 \text{ fb}$	$E = 30 \text{ fb}$	$E = 50 \text{ fb}$	
75°	15,88	15,1	15,3	5×10^{-2}
90°	8,76	8,36	9,83	3×10^{-2}
105°	6,17	5,9	6,74	10^{-2}
120°	4,7	4,7	5,17	$\sim 10^{-2}$
135°	4,2	4,2	4,38	~
150°	4,05	4,05	4,1	~
180°	4	4	4	0

Угловое распределение и поляризация
коисчного пучка в рассеянии $\mu^+ \mu^- \rightarrow \mu^+ \mu^-$

Матрица № 2

ϑ°	$f^B(\vartheta)$	$f^W(\vartheta)$	$f^B(\vartheta) + f^W(\vartheta)$	$ P_\ell(25\%) $
0°	2	2,24	4,24	0,52
30°	7/4	1,96	3,71	0,52
45°	3/2	1,63	3,13	0,52
60°	5/4	1,26	2,51	0,50
90°	1	0,56	1,56	0,36
120°	5/4	0,14	1,39	0,10
135°	3/2	0,05	1,55	~
150°	7/4	0,01	1,76	~
180°	2	0	2	0

Угловое распределение и поляризация

коисчного пучка в реакции $\mu^+ \mu^- \rightarrow e^+ e^-$

$$f^B(\vartheta) = 1 + \cos^2 \vartheta$$

$$f^W(\vartheta) = \delta^{(n)} \left(1 + \delta^{(n)} \right) (1 + \cos \vartheta)^2$$

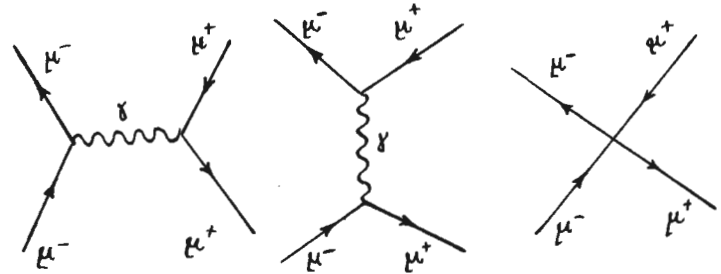


Рис. 1

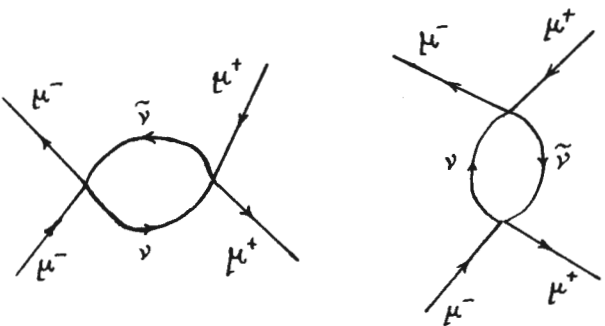


Рис. 2

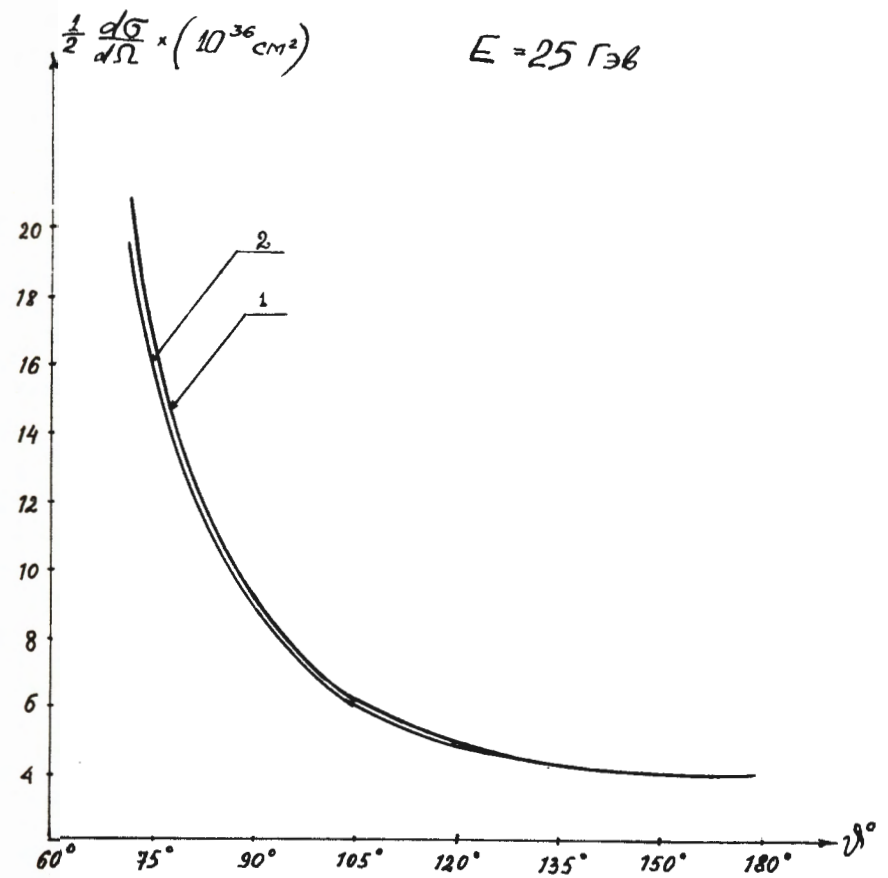


Рис. 3

1 - угловое распределение Баба

2 - распределение с учётом слабого взаимодействия

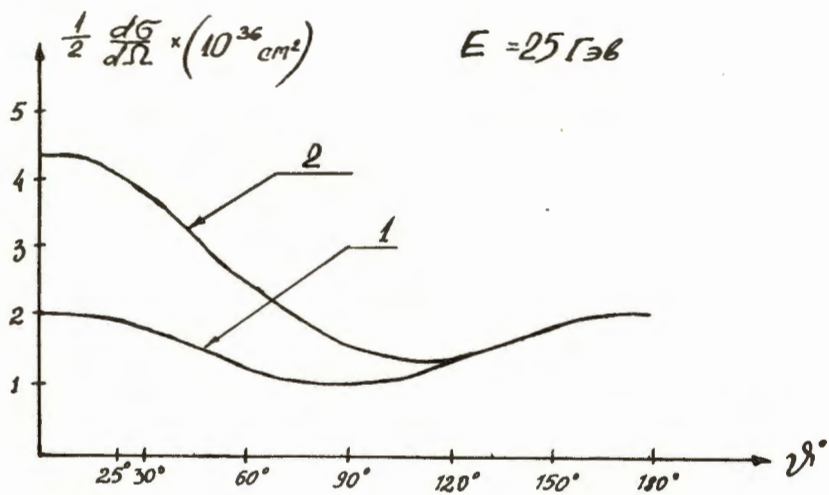


Рис. 4.

1 - кривая для чисто электромагнитного

процесса $\mu^+\mu^- \rightarrow e^+e^- + n$

2 - с учётом слабого взаимодействия.